

Fig. 3.1. Spatial distribution of maximum annual cumulative duration of wet spells detected based on 5 mm threshold
 Distribuția spațială a duratei cumulate maxime anuale a perioadelor ploioase detectate pe baza pragului de 5 mm

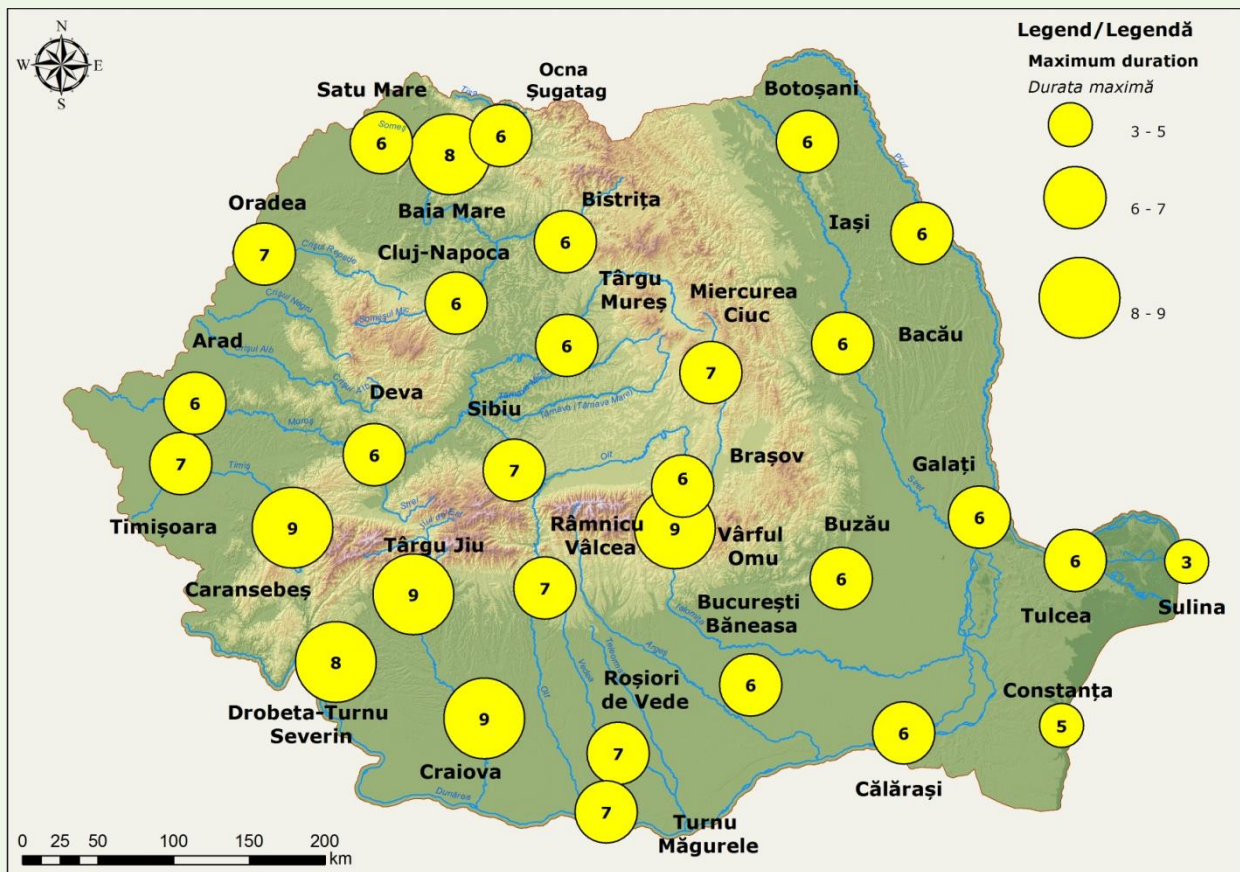


Fig. 3.2. Spatial distribution of maximum annual duration of wet spells detected based on 5 mm threshold
 Distribuția spațială a duratei maxime anuale a perioadelor ploioase detectate pe baza pragului de 5 mm

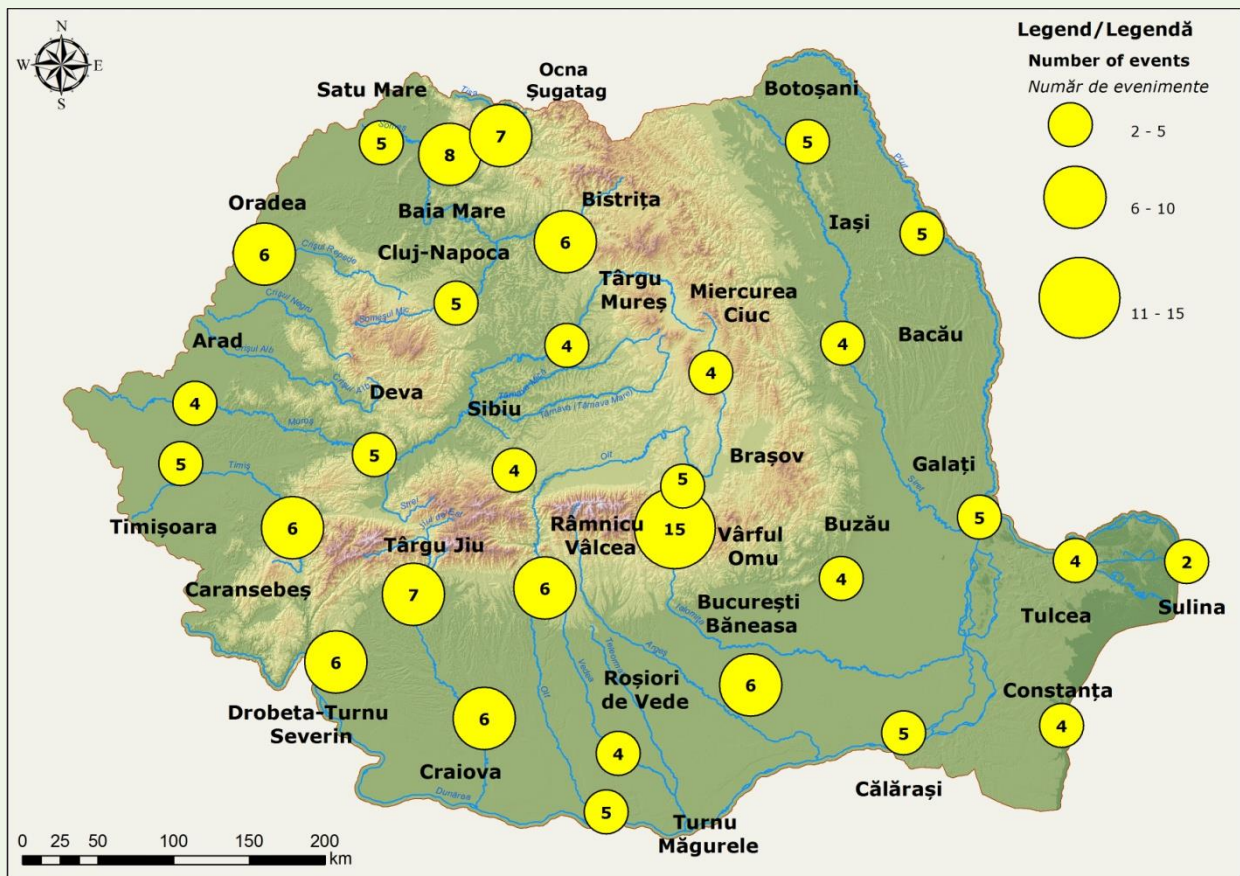


Fig. 3.3. Spatial distribution of maximum annual number of wet spells detected based on 5 mm threshold
 Distribuția spațială a numărului anual de perioade ploioase detectate pe baza pragului de 5 mm

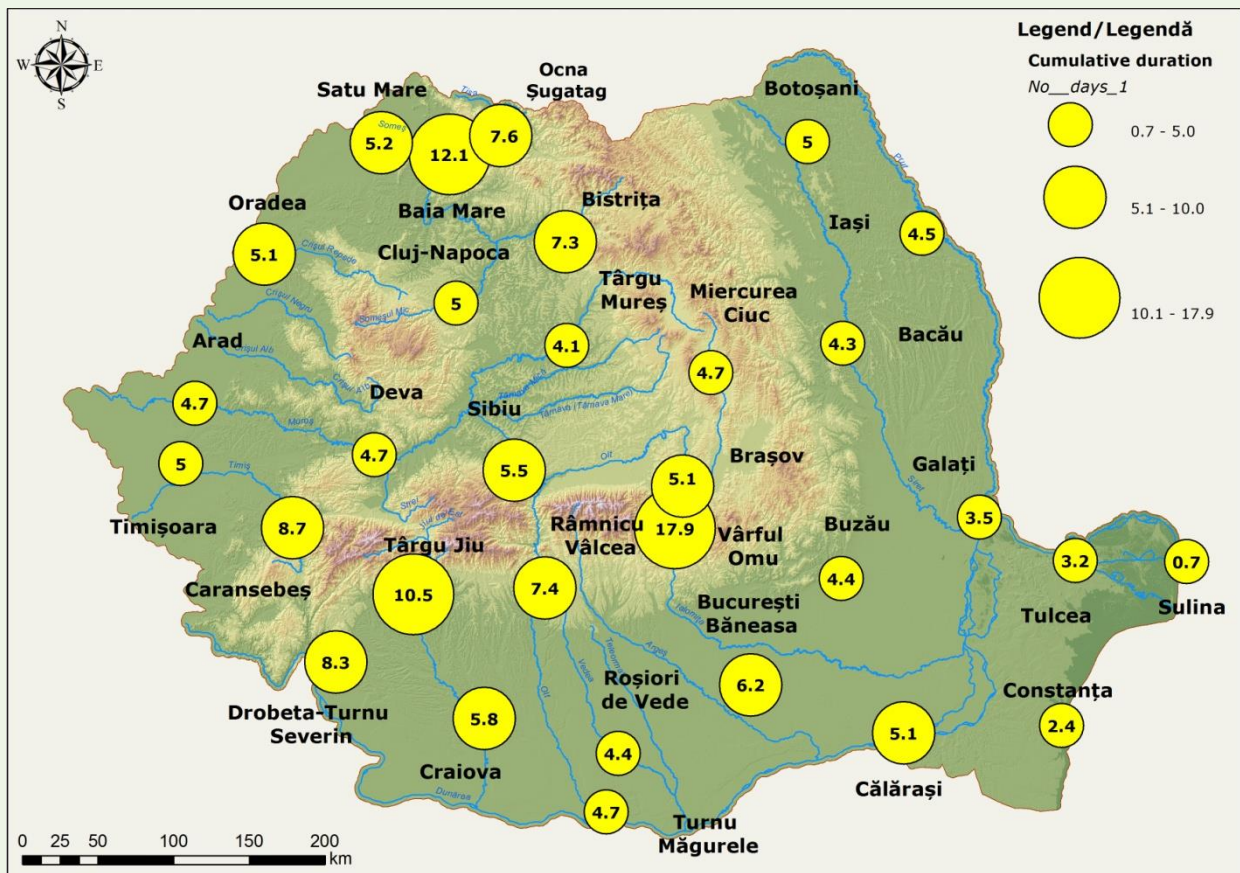


Fig.3.4. Spatial distribution of mean annual cumulative duration of wet spells detected based on 5 mm threshold
 Distribuția spațială a duratei cumulate medii anuale a perioadelor ploioase detectate pe baza pragului de 5 mm

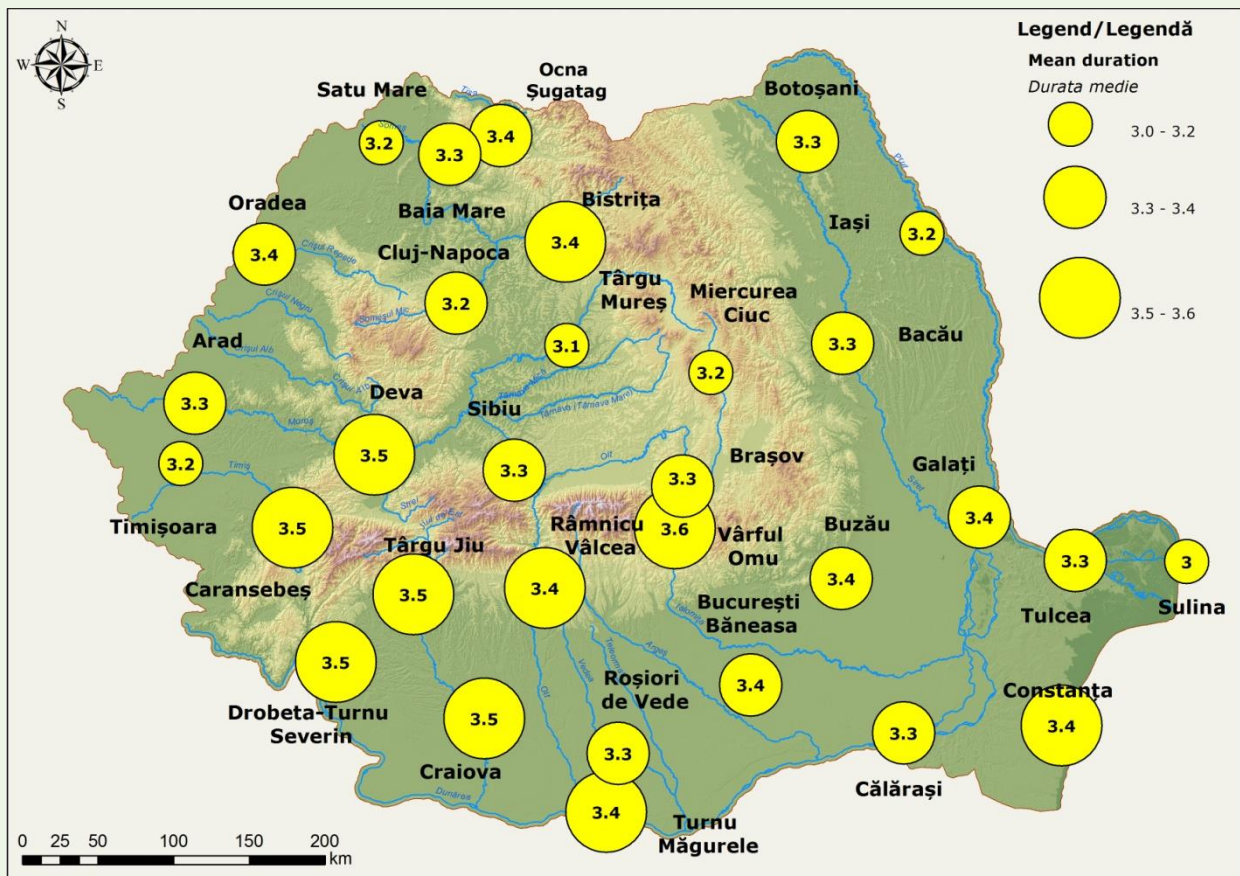


Fig. 3.5. Spatial distribution of mean annual duration of wet spells detected based on 5 mm threshold
 Distribuția spațială a duratei medii anuale a perioadelor ploioase detectate pe baza pragului de 5 mm

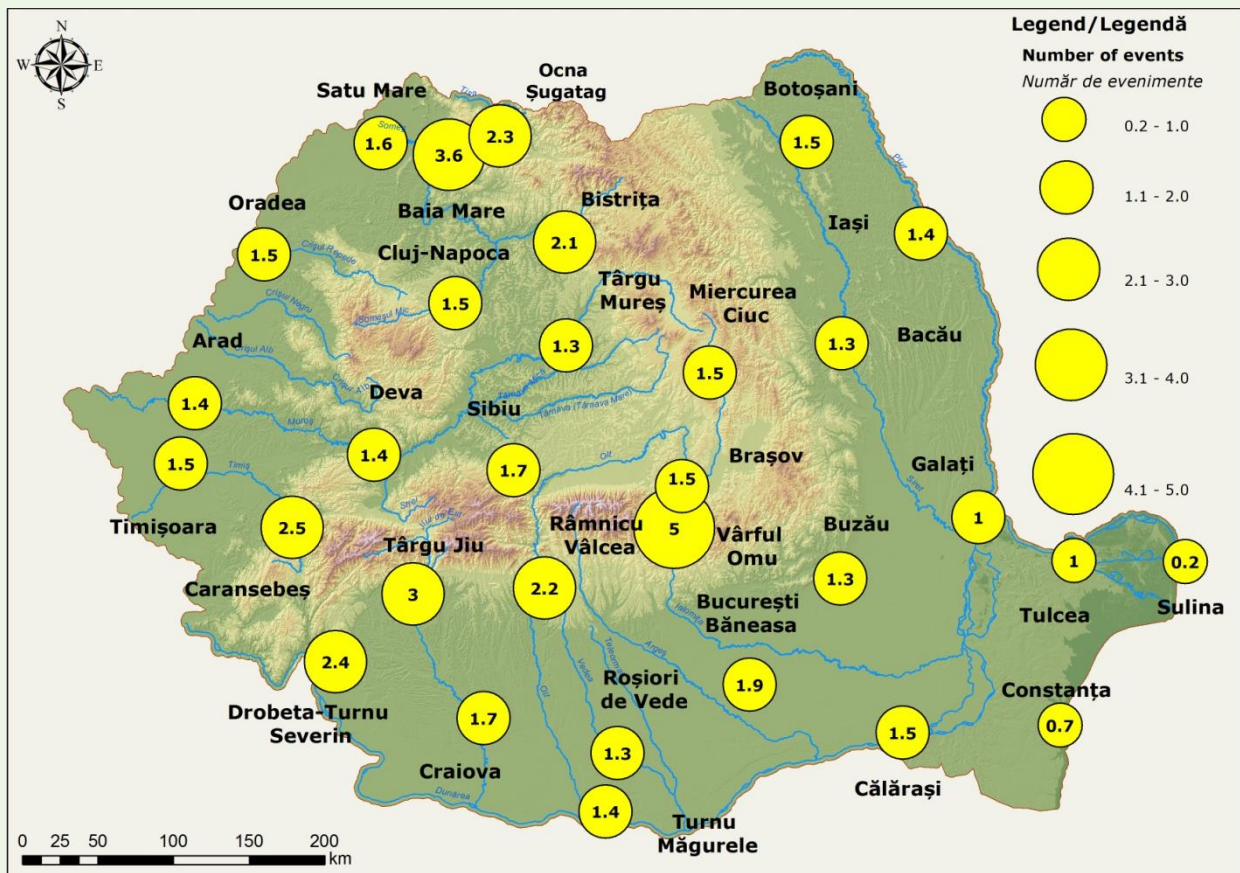


Fig. 3.6. Spatial distribution of mean annual number of wet spells detected based on 5 mm threshold
 Distribuția spațială a numărului anual de perioade ploioase detectate pe baza pragului de 5 mm